

# Relatório - Atividade 3 - Reguladores Autoajustáveis Determinísticos

Análise e Projeto de Sistemas de Controle - 21.1

Prof. Antonio Marcus Nogueira Lima, Dr.

Aluno: Arthur Dimitri Brito Oliveira

Este relatório tem como objetivo a apresentação e o desenvolvimento dos exercícios resolvidos referentes a STR (*Self Tuning Regulators*) do Capítulo 3 do livro Adaptive Control [1].

## Fundamentação Teórica

A utilização de reguladores autoajustáveis (STR) está associada à automatização das tarefas envolvidas no desenvolvimento de sistemas de controle, como modelagem, projeto da lei de controle, implementação e validação. Nesse contexto, uma das razões para utilizar controladores adaptativos é que o processo ou o ambiente que o cerca mudam de forma contínua.

Supondo um processo descrito por um sistema de única entrada e única saída

$$Ay(t) = B(u(t) + v(t))$$

Sendo  $y$  a saída,  $y$  a saída e  $v$  a perturbação.  $A$  e  $B$  são polinômios em função do operador de atraso  $q^{-1}$ . Os graus dos polinômios são  $\deg A = n$  e  $\deg B = \deg A - d_0$ , sendo  $d_0$  denominado de excesso de polo, e represente a parte inteira da razão entre o modelo do processo e o operador de atraso  $q^{-1}$ .

Uma lei de controle genérica pode ser descrita por:

$$Ru(t) = Tu_c(t) - Sy(t)$$

Sendo  $R, S$  e  $T$  polinômios. Ao isolar  $u(t)$  e substituir na equação do processo, tem-se:

$$u(t) = \frac{T}{R}u_c(t) - \frac{S}{R}y(t)$$

$$Ay(t) = B\left(\frac{T}{R}u_c(t) - \frac{S}{R}y(t) + v(t)\right)$$

$$y(t)\left(\frac{AR + BS}{R}\right) = B\left(\frac{T}{R}u_c(t) + v(t)\right)$$

$$y(t) = \frac{BT}{AR + BS} u_c(t) + \frac{BR}{AR + BS} v(t)$$

$$u(t) = \frac{AT}{AR + BS} u_c(t) - \frac{BS}{AR + BS} v(t)$$

O polinômio característico da malha fechada é, então:

$$A_c = AR + BS$$

A ideia central do método de projeto é a especificação de um polinômio característico desejado. A equação anterior é conhecida como **Equação Diophantina**. No entanto, a equação só determina os polinômios  $R$  e  $S$ , o que requer outras condições para determinar o polinômio  $T$ . Avaliando a resposta do sinal de controle  $u_c$  para a saída, descrita pelas dinâmicas:

$$A_m y_m(t) = B_m u_c(t)$$

$$\frac{BT}{AR + BS} = \frac{BT}{A_c} = \frac{B_m}{A_m}$$

O polinômio  $B$  pode ser escrito como  $B = B^+ B^-$ , onde  $B^+$  é um polinômio mônico, cujos zeros são estáveis e bem amortecidos, de maneira que podem ser cancelados pelo controlador.  $B^-$  corresponde a fatores instáveis ou pouco amortecidos que não podem ser cancelados. Assim,  $B^-$  deve ser um fator de  $B_m$ , de modo que:

$$B_m = B^- B'_m$$

$A_m$  também deve ser um fator de  $A_c$ , de modo que:  $A_c = A_0 A_m B^+$ . Assim:

$$\frac{B^+ B^- T}{A_0 A_m B^+} = \frac{B^- B'_m}{A_m}$$

$$T = A_0 B'_m$$

De tal forma que a equação de Diophantine se torna

$$AR' + B^- S = A_0 A_m = A'_c$$

## Desenvolvimento

Os métodos aqui descritos foram implementados utilizando o Matlab. Inicialmente, os problemas referentes aos exemplos são formulados. Posteriormente, discute-se a resolução e os resultados obtidos com as simulações.

### **Exemplo 3.1: Cancelamento de zeros**

Considerando um processo de tempo contínuo descrito por:

$$G(s) = \frac{1}{s(s+1)}$$

A função de tempo discreto para  $h = 0.5$  é:

$$H(q) = \frac{B(q)}{A(q)} = \frac{b_0q + b_1}{q^2 + a_1q + a_2} = \frac{0.1065q + 0.0902}{q^2 - 1.6065q + 0.6065}$$

Tendo o sistema desejado em malha-fechada sendo:

$$\frac{B_m(q)}{A_m(q)} = \frac{b_{m0}q}{q^2 + a_{m1}q + a_{m2}} = \frac{0.1761q^2 - 1.3205q + 0.4966}{q}$$

Pelo algoritmo MDPP, sabe-se que  $B^- = b_0$ ,  $B^+ = B/b_0$ ,  $B_m = B'_m B^-$ , assim:

$$B^+ = \frac{b_0q + b_1}{b_0} = q + b_1/b_0$$

$$B^- = b_0$$

$$B'_m = b_{m0}q/b_0$$

O processo é de segunda ordem, isto implica que os polinômios  $R, S$  e  $T$  serão de primeira ordem, já que  $\deg S = \deg A - 1$ ,  $\deg R = \deg S = 1$ . Então  $\deg R' = \deg R - \deg B^+$ , no entanto, como o polinômio é monico,  $R' = 1$ .

Como  $\deg A_0 = \deg A - \deg B - 1 = 0$ ,  $A_0 = 1$ . A equação de Diophantine se torna:

$$AR' + B^-S = (q^2 + a_1q + a_2).1 + b_0(s_0q + s_1) = q^2 + a_{m1} + a_{m2}$$

Comparando os coeficientes, tem-se:

$$s_0 = \frac{a_{m1} - a_1}{b_0}$$

$$s_1 = \frac{a_{m2} - a_2}{b_0}$$

Diante disso, conclui-se que:

$$R = B^+ R' = B^+ = q + b_1/b_0$$

$$S = s_0 q + s_1 = \frac{a_{m1} - a_1}{b_0} q + \frac{a_{m2} - a_2}{b_0}$$

$$B'_m = \frac{b_{m0} q}{b_0}$$

Para que as dinâmicas indesejáveis referentes ao fator  $B^+$  sejam canceladas pelo polinômio característico do controlador  $A_c$ , é necessário que o zero não seja pouco amortecido.

### **Exemplo 3.2: Model-following sem cancelamento de zeros**

Considerando o mesmo equivalente discreto para a função de transferência  $G(s)$ :

$$H(q) = \frac{b_0 q + b_1}{q^2 + a_1 q + a}$$

Como não há o cancelamento de nenhum zero, pode-se afirmar que:

$$B^+ = 1$$

$$B = B^+ B^- = B^- = b_0 q + b_1$$

Tendo em vista a resposta desejada em malha fechada como sendo:

$$H_m(q) = \beta \frac{b_0 q + b_1}{q^2 + a_{m1} q + a_{m2}} = \frac{b_{m0} q + b_{m1}}{q^2 + a_{m1} q + a_{m2}}$$

$\beta$  é responsável pelo ganho unitário em regime. Sabendo que  $\deg S = \deg A - 1 = 1$ ,  $\deg R' = \deg R - \deg B^+ = 1$ , de modo que  $R'$  é monico e equivale a  $R' = q + r_1$ . Como  $\deg S = 1$ ,  $s = s_0 q + s_1$ . A equação de Diophantine então se torna:

$$AR' + B^- S = (q^2 + a_1 q + a_2)(q + r_1) + (b_0 q + b_1)(s_0 q + s_1)$$

Ao adotar-se  $q = -b_1/b_0$ :

$$r_1 = \frac{a_0 a_{m2} b_0^2 + (a_2 - a_{m2} - a_0 a_{m1}) b_0 b_1 + (a_0 + a_{m1} - a_1) b_1^2}{b_1^2 - a_1 b_0 b_1 + a_2 b_0^2}$$

Vale-se salientar que o denominador de  $r_1$  é nulo caso A e B tenham um fator em comum. No entanto, caso isso aconteça, a premissa da equação de Diophantine de que A e B são primos relativos é invalidada.

### **Exemplo 3.3: Sistema de tempo contínuo**

O método proposto no exemplo 1 será usado para determinar um controlador de tempo contínuo. Tendo em vista que o processo é de segunda ordem, o sistema em malha fechada será de terceira ordem. A função de transferência é:

$$G(s) = \frac{b}{s(s+a)}$$

Como  $\deg A = 2$  e  $\deg B = 1$ , sabe-se que  $B^- = b$ ,  $B = B^+ B^- \rightarrow B^+ = B/B^- = 1$ . Sabendo que a resposta desejada para a função de transferência é:

$$\frac{B_m(s)}{A_m(s)} = \frac{w^2}{s^2 + 2\xi\omega s + w^2}$$

Sabendo que  $B_m = B'_m B^- \rightarrow B'_m = \omega^2/b$ , e que  $\deg S = \deg A - 1 = 1$  e  $\deg S = \deg R = 1$ , tem-se que  $R'$  é monico.

Além disso,  $\deg A_0 = \deg A - \deg B^+ - 1 = 1$ , de modo que  $A_0 = s + a_0$ . Por fim,  $\deg S = 1 \rightarrow S = s_0 s + s_1$ . A equação de Diophantine se torna:

$$AR' + B^- S = s(s+a)(s+r_1) + b(s_0 s + s_1) = (s^2 + 2\xi\omega s + \omega^2)(s+a_0)$$

Igualando os termos, tem-se:

$$a + r_1 = 2\xi\omega + a_0$$

$$ar_1 + bs_0 = \omega^2 + 2\xi\omega a_0$$

$$bs_1 = \omega^2 a_0$$

Caso  $b \neq 0$ , a solução das equações é:

$$r_1 = 2\xi\omega + a_0 - a$$

$$s_0 = \frac{a_0 2\xi\omega + \omega^2 - ar_1}{b}$$

$$s_1 = \frac{\omega^2 a_0}{b}$$

Sabendo que  $B^+ = 1$ ,  $B^- = b$  e que  $B'_m = \omega^2/b$ , tem-se que:

$$T(s) = B'_m(s)A_0(s) = \frac{\omega^2}{b}(s+a_0)$$

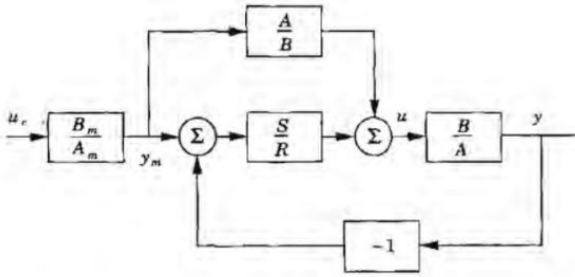
É possível dar uma interpretação ao polinômio  $A_0$  que aparece na solução de grau mínimo da alocação de polos no caso em que nenhum zero do processo é cancelado, ou seja, quando  $B^- \neq b_0$ . A equação de Diophantine se torna:

$$\frac{T}{R} = \frac{A_0 B'_m}{R} = \frac{(AR' + BS)B'_m}{A_m R} = \frac{AB'_m}{BA_m} + \frac{SB'_m}{RA_m}$$

A lei de controle pode ser escrita como:

$$u = \frac{T}{R}u_c - \frac{S}{R}y = \frac{AB_m}{RA_m}u_c - \frac{S}{R}y = \frac{AB_m}{BA_m}u_c - \frac{S}{R}(y - y_m)$$

Um diagrama de blocos que representa este controlador pode ser observado na Figura 1. Ele pode ser interpretado como a combinação de um controlador *feedforward*, que tenta cancelar as dinâmicas da planta e substituir pela dinâmica desejada  $B_m/A_m$ , e por um controlador de realimentação, que tenta fazer com que a saída siga tal modelo.



**Figura 1:** Representação alternativa do diagrama de blocos para o seguidor de modelo.

Sabendo que  $\deg B < \deg A$ , é evidente que  $\frac{A}{B}$  não é realizável. Caso o sistema seja fase-mínima,  $A/B$  será instável. No entanto, a combinação do modelo desejado  $B_m/A_m$  e  $A/B$  é realizável se:

$$\deg S \leq \deg R$$

$$\deg T \leq \deg R$$

Vale-se salientar que a concatenação resultante,  $\frac{AB_m}{BA_m}$ , está separada de  $S/R$ , e estes termos podem causar quaisquer problemas de instabilidade pois eles aparecem apenas como parte do compensador *feedforward*.

### **Exemplo 3.4: Regulador auto-ajustável com cancelamento de zero do processo**

Caso a função de transferência do processo não seja conhecida, é possível utilizar o método de mínimos quadrados recursivo para estimá-la. Sendo o modelo do processo descrito por:

$$y(t) = -a_1y(t-1) - a_2y(t-2) - \dots - a_ny(t-n) + b_0u(t-d_0) + \dots + b_mu(t-d_0-m)$$

O modelo pode ser expresso como:

$$y(t) = \varphi^T(t-1)\theta$$

Sendo  $\theta^T = [a_1 \ a_2 \ \dots \ a_n \ b_0 \ b_m]$ ,  $\varphi^T(t-1) = [-y(t-1) \ \dots \ -y(t-n) \ u(t-d_o) \ u(t-d_o-m)]$ . O estimador é expresso por:

$$\hat{\theta}(t) = \tilde{\theta}(t-1) + K(t)\epsilon(t)$$

$$\epsilon(t) = y(t) - \varphi^T(t-1)\hat{\theta}(t-1)$$

$$K(t) = P(t-1)\varphi(t-1)(\lambda + \varphi^T(t-1)P(t-1)\varphi(t-1))^{-1}$$

$$P(t) = (I - K(t)\varphi^T(t-1))P(t-1)/\lambda$$

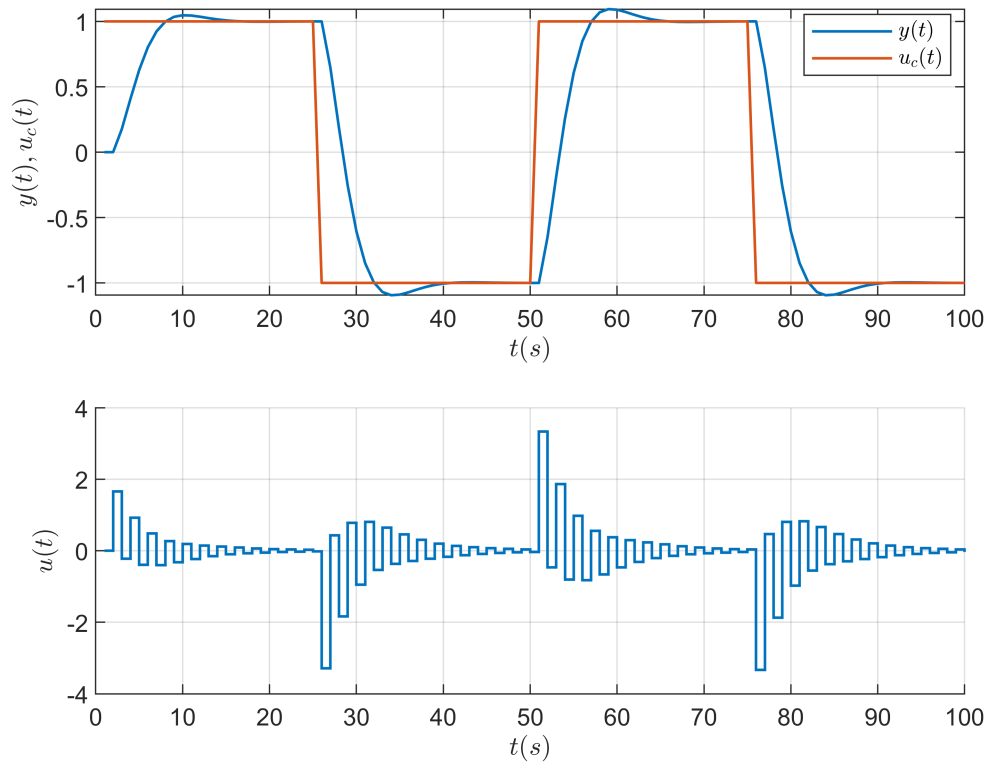
A estimação dos coeficientes associados à função de transferência ocorre e aplica-se a equação de Diophantine para atingir o desempenho desejado em malha fechada. Este procedimento ocorre a cada instante de amostragem.

A função de transferência desejada para a malha fechada é dada por:

$$H_m(q) = \frac{0.1761q}{q^2 - 1.3205 + 0.4966}$$

O comportamento temporal desejado, a resposta temporal alcançada e o sinal de controle aplicado podem ser visualizados na Figura (XXXXXXXXXXXXX) a seguir:

ex\_4



**Figura 2:** Resposta temporal do sinal de saída  $y(t)$ , a referência adotada  $u_c(t)$  e o sinal de controle aplicado  $u(t)$ .

Os parâmetros do controlador são expressos como funções dos parâmetros do modelo e das especificações, de modo que:

$$u(t) = r_1 u(t-1) = t_0 u_c(t) - s_0 y(t) - s_1 y(t-1)$$

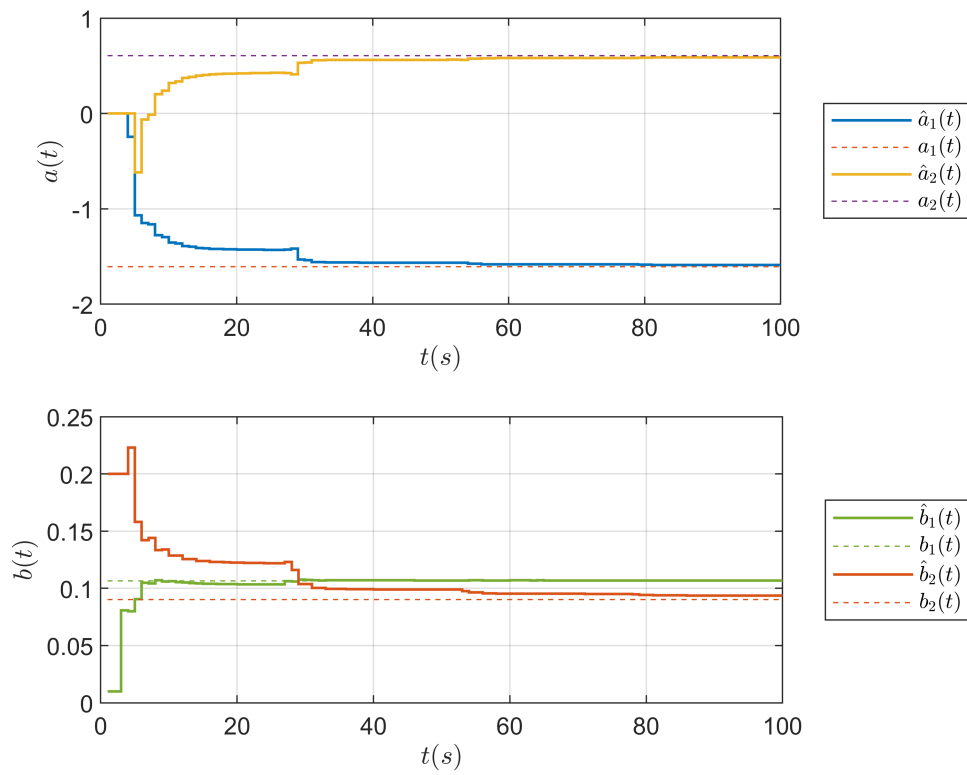
Pela resposta temporal, é evidente que o sinal de controle tem severas oscilações. Isso se deve ao zero pouco amortecido  $z = b_1/b_0 = -0.85$ . Considerando que a função de transferência associada à resposta temporal de  $y(t)$  pode ser descrita por:

$$H(q) = \frac{b_0 q + b_1}{q^2 + a_1 q + a_2}$$

Ao estimar os parâmetros dos polinômios característicos por meio do método de mínimos quadrados recursivo, tem-se a estimativa dos parâmetros em função do tempo na figura a seguir.

ex\_4\_2

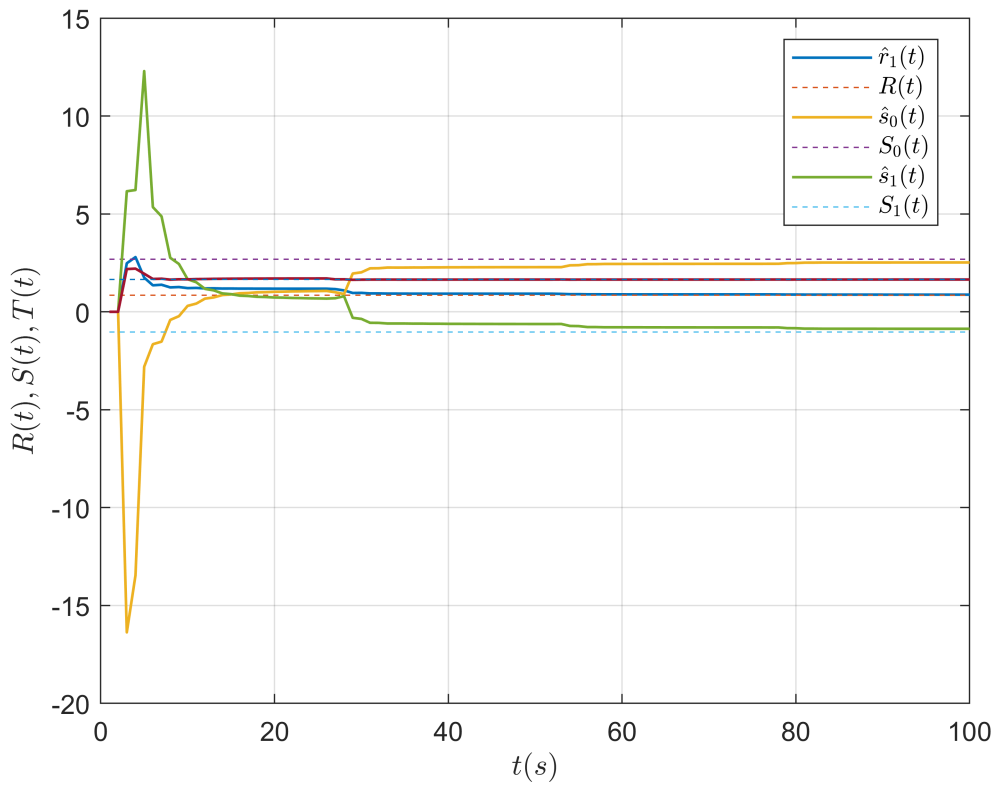




**Figura 3:** Evolução temporal da estimativa dos parâmetros  $\hat{b}_0$ ,  $\hat{b}_1$ ,  $\hat{a}_1$  e  $\hat{a}_2$  da função de transferência  $H(q)$ .

Como pode-se observar, há uma boa aproximação dos parâmetros reais do processo, em malha aberta, após 25 segundos de simulação. Os polinômios  $R$ ,  $S$  e  $T$  do controlador desejado também são calculados. Sua convergência para os valores desejados pode ser visualizada a seguir:

ex\_4\_3



**Figura 4:** Evolução temporal da estimativa dos coeficientes polinomiais  $R, S$  e  $T$ .

Como pode-se observar, a estimação dos coeficientes polinomiais converge para os valores desejados. Caso deseje-se uma maior suavidade no sinal de controle aplicado, pode-se manter o zero do processo.

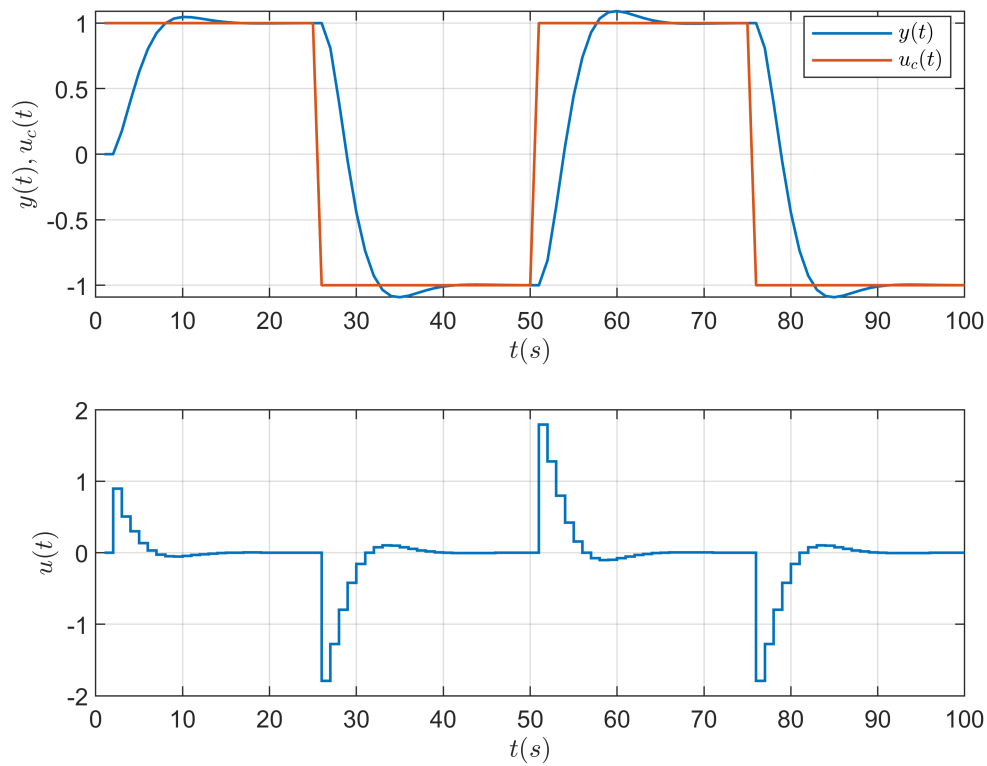
**Exemplo 3.5: Regulador indireto auto-ajustável sem cancelamento do zero do processo**

A função que expressa o desempenho em malha fechada é dada por:

$$H_m(q) = \frac{B_m}{A_m} = \frac{0.0953q + 0.0808}{q^2 - 1.3205q + 0.4966}$$

O resultado da simulação pode ser visualizado na Figura 5.

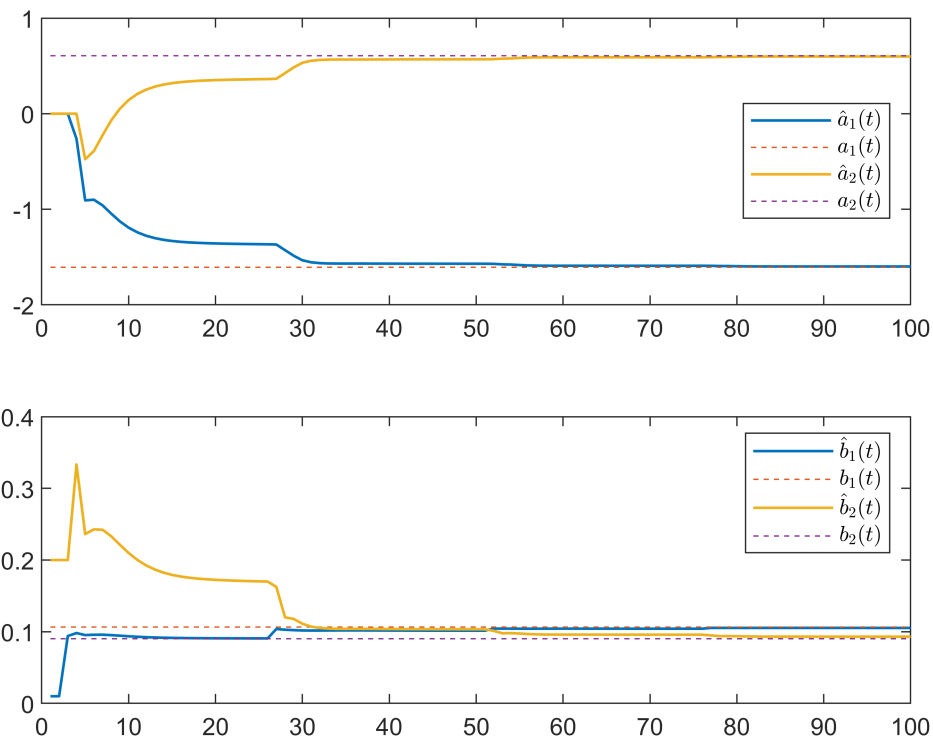
ex\_5



**Figura 5:** Sinais de saída  $y(t)$ , referência  $u_c(t)$  e de controle  $u(t)$ .

Pode-se observar um sinal de controle mais suave, e isso se dá pela permanência dos zeros pouco amortecidos do processo. A estimativa dos parâmetros  $\hat{\theta}$  por meio de RLS pode ser visualizada na Figura 6.

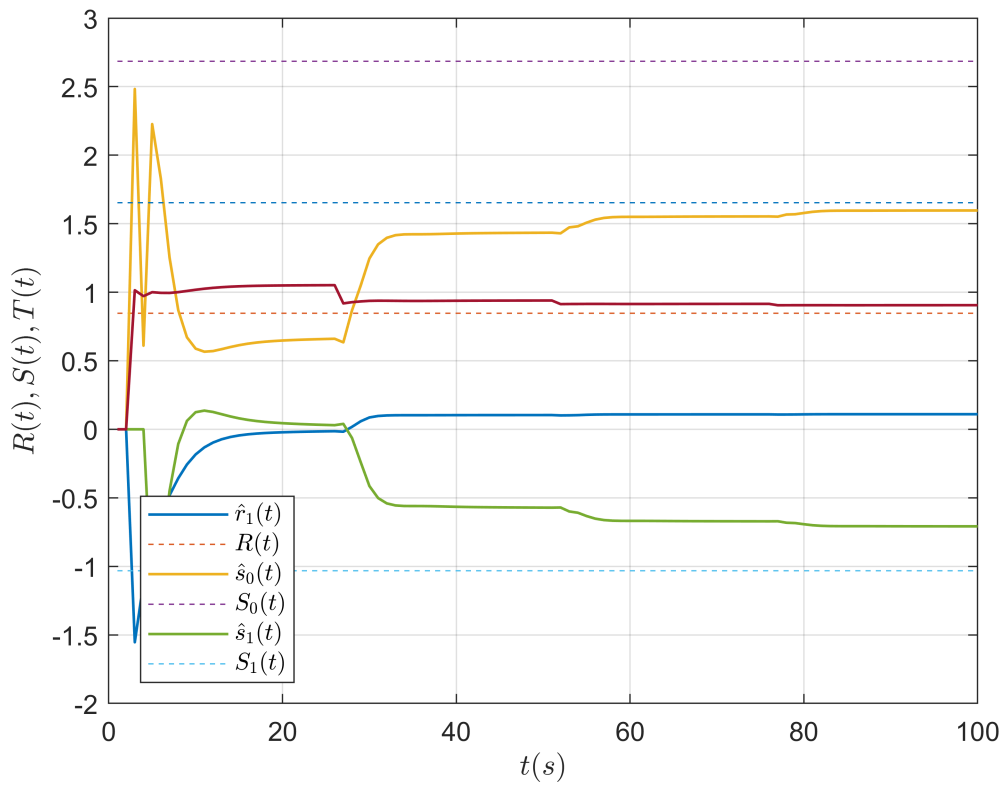
ex\_5\_1



**Figura 6:** Evolução temporal da estimativa dos parâmetros  $\hat{\theta}$ .

A estimação dos parâmetros claramente converge para os valores reais esperados. Também estima-se os polinômios do controlador, e estes podem ser observados na Figura 7.

ex\_4\_3



**Figura 6:** Evolução temporal da estimativa dos polinômios  $R, S$  e  $T$ .

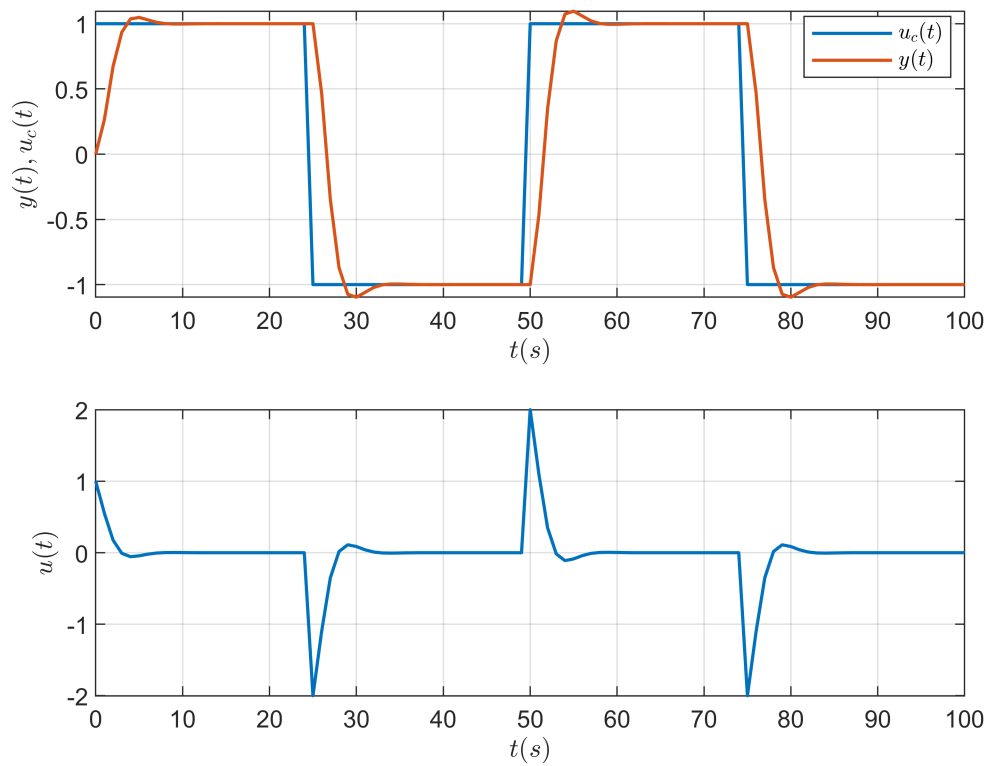
**Exemplo 3.6: Regulador indireto auto-ajustável sem cancelamento do zero do processo**

Considerando a função de transferência do processo como sendo

$G(s) = \frac{1}{s^2 + s}$  e uma função de transferência em malha-fechada da forma  $G_m(s) = \frac{\omega^2}{s^2 + 2\xi\omega s + \omega^2}$ . Para definir

$B^+ = 1$ , faz-se necessário que  $A_0 = q + a_0$ , com  $a_0 = 2$ . O sinal de referência  $u_c(t)$ , o sinal de saída  $y(t)$  e o sinal de controle  $u(t)$  podem ser visualizados na Figura 7.

ex\_6\_1



**Figura 7:** Sinais de saída  $y(t)$ , referência  $u_c(t)$  e de controle  $u(t)$ .

E estimação dos parâmetros da função de transferência para o processo por meio de RLS resulta em:

ex\_6\_2

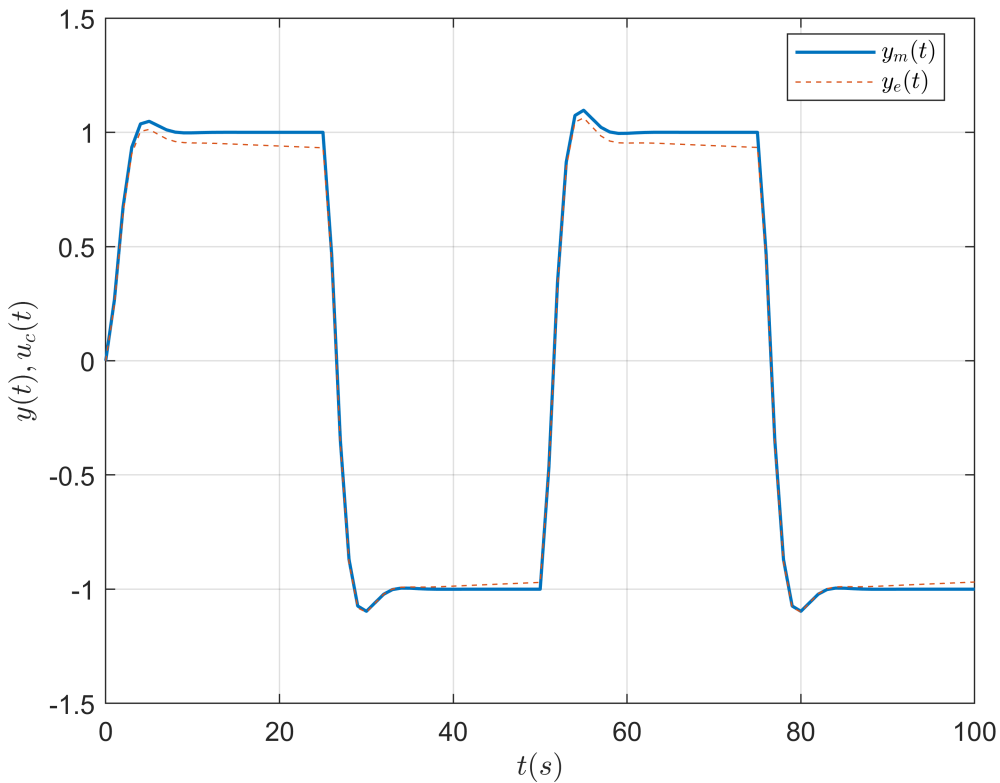
Gc =

$$\frac{-0.05287 s + 0.8252}{s^2 + 1.363 s + 0.002261}$$

Continuous-time transfer function.

Como pode-se observar, o numerador da função de transferência não corresponde à função de transferência desejada para a malha-fechada. Esse erro numérico pode ser associado à conversão do domínio discreto para o contínuo. A resposta temporal comparativa entre  $y_m(t)$  e  $y(t)$  ilustrada na Figura 8 evidencia o erro supramencionado.

ex\_6\_3



**Figura 8:** Sinal de saída desejado  $y_m(t)$  e sinal de saída real  $y(t)$ .

```
mse(y,ym)
```

```
ans = 0.0013
```

### Exemplo 3.7: Regulador auto-ajustável direto

Ao multiplicar ambos os lados da equação de Diophantine por  $y(t)$  tem-se:

$$A_0 A_m y(t) = AR' y(t) + B^- S y(t)$$

Considerando  $Ay(t) = Bu(t)$  e  $R'B = RB^-$ , tem-se:

$$A_0 A_m y(t) = B^- (Ru(t) + Sy(t))$$

Esta equação pode ser considerada um modelo do processo parametrizada pelos coeficientes polinomiais  $B^-$ ,  $R$  e  $S$ . Se os parâmetros desta equação são estimados, a lei de controle é então obtida diretamente, sem projeto. O modelo da equação anterior é não-linear quanto aos parâmetros pois o lado direito da igualdade é multiplicado por  $B^-$ .

Caso as dinâmicas do processo o configurem como um sistema de fase mínima,  $\deg A_0 = \deg A - \deg B - 1$ ,  $B^-$  será simplesmente uma constante e a equação se torna:

$$A_m A_0 y(t) = b_0 (R u(t) + S y(t)) = \tilde{R} u(t) + \tilde{S} y(t)$$

Onde  $R$  é monico e  $\tilde{R} = b_0 R$  e  $\tilde{S} = b_0 S$ . O vetor de parâmetros pode ser definido como:

$$\theta = [r_0 \dots r_i \ s_0 \dots s_i]$$

Por sua vez, o vetor de regressão é:

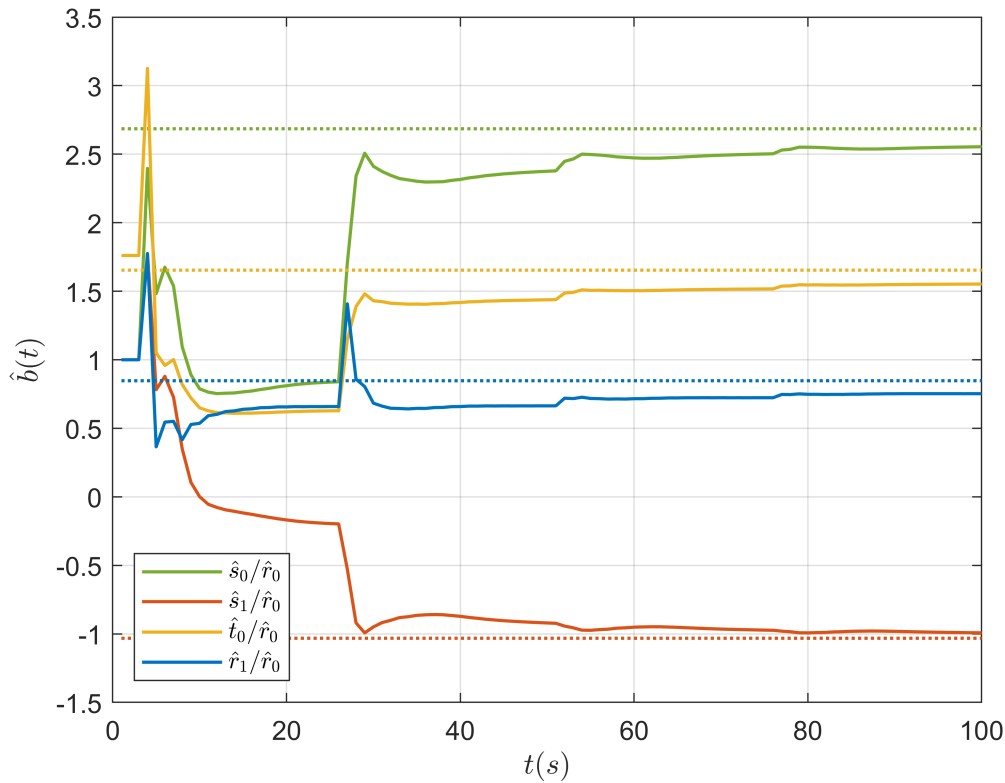
$$\varphi(t) = [u(t) \dots u(t-l) \ y(t) \dots y(t-l)]$$

No caso deste exemplo, como  $\deg A = 2$  e  $\deg B = 1$ ,  $\deg A_m = 2$  e  $\deg A_0 = 0$ , de modo que  $A_0 = 1$ . Desse modo, o modelo é descrito por:

$$y(t) = r_0 u_f(t-1) + r_1 u_f(t-2) + s_0 y_f(t-1) + s_1 y_f(t-2)$$

As estimativas dos coeficientes dos polinômios  $R, S$  e  $T$  podem ser observadas na Figura 9.

ex\_7



**Figura 9:** Evolução temporal da estimativa dos coeficientes polinomiais  $R, S$  e  $T$  do controlador.



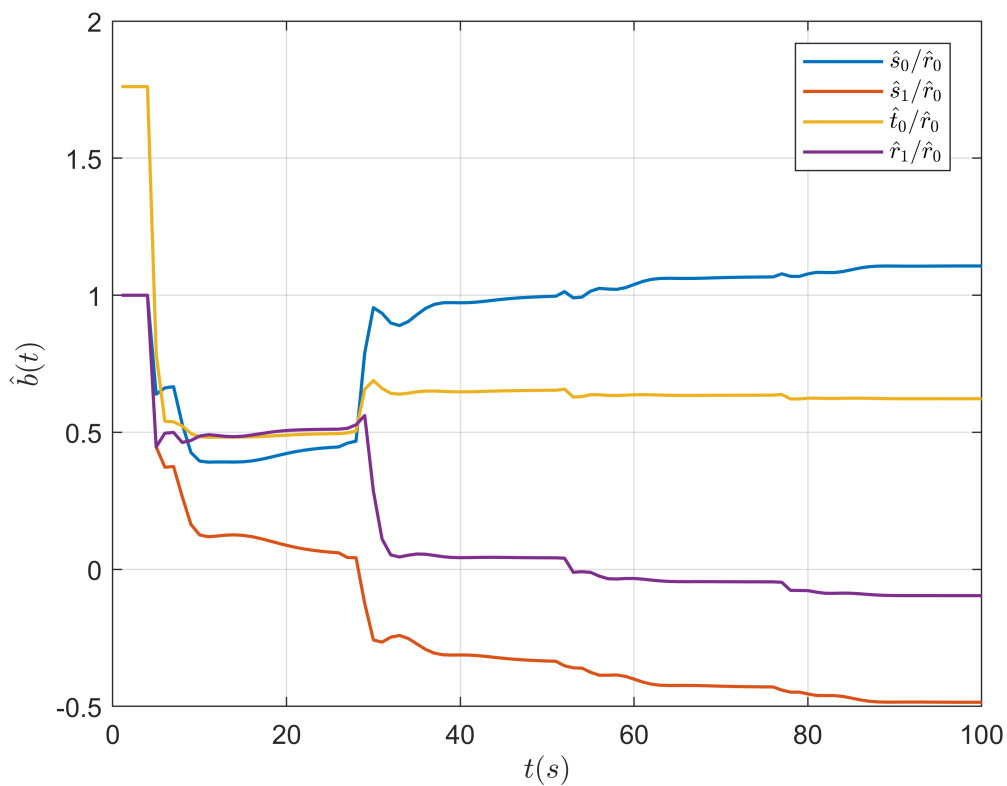
### Exemplo 3.8: Regulador direto com $d_0=2$

A partir da derivação do algoritmo direto, o parâmetro  $d_0$  era o excesso de polos da planta. Inicialmente, não sabe-se o valor de  $d_0$  e este é tratado como um parâmetro. Por padrão de projeto  $d_0 = 2$  e mantendo  $A_0 = 1$ . Em malha fechada, a estimação se torna:

$$y(t) = r_0 u(t-2) + r_1 u(t-3) + s_0 y(t-2) + s_1 y(t-3)$$

A divisão dos parâmetros por  $\hat{r}_0$  também é necessária já para que os polinômios  $\tilde{R}$  e  $\tilde{S}$  sejam transformados em  $R$  e  $S$ , visto que  $B^- = b_0$ . As estimativas dos polinômios  $\hat{s}_0/\hat{r}_0$ ,  $\hat{s}_1/\hat{r}_0$ ,  $\hat{t}_0/\hat{r}_0$  e  $\hat{r}_1/\hat{r}_0$  podem ser visualizadas na figura abaixo.

ex\_8

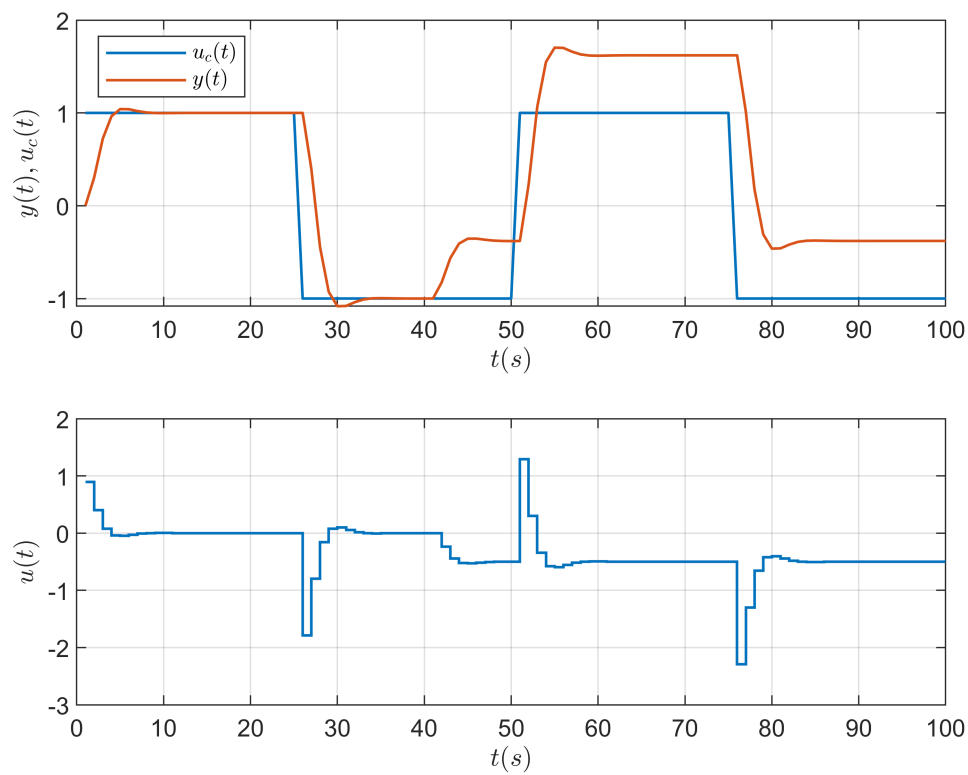


**Figura 10:** Evolução temporal da estimativa dos coeficientes polinomiais  $R$ ,  $S$  e  $T$  do controlador.

### Exemplo 3.9: Efeito de perturbações

Considerando o sistema do exemplo 5, onde há a regulação autoajustável indireta sem cancelamento de zeros. Adiciona-se um ruído da forma  $v(t) = 0.5$  para  $t \geq 40$ . O comportamento do sistema em termos da saída  $y(t)$ , do sinal de controle  $u(t)$  e da referência imposta  $u_c(t)$ .

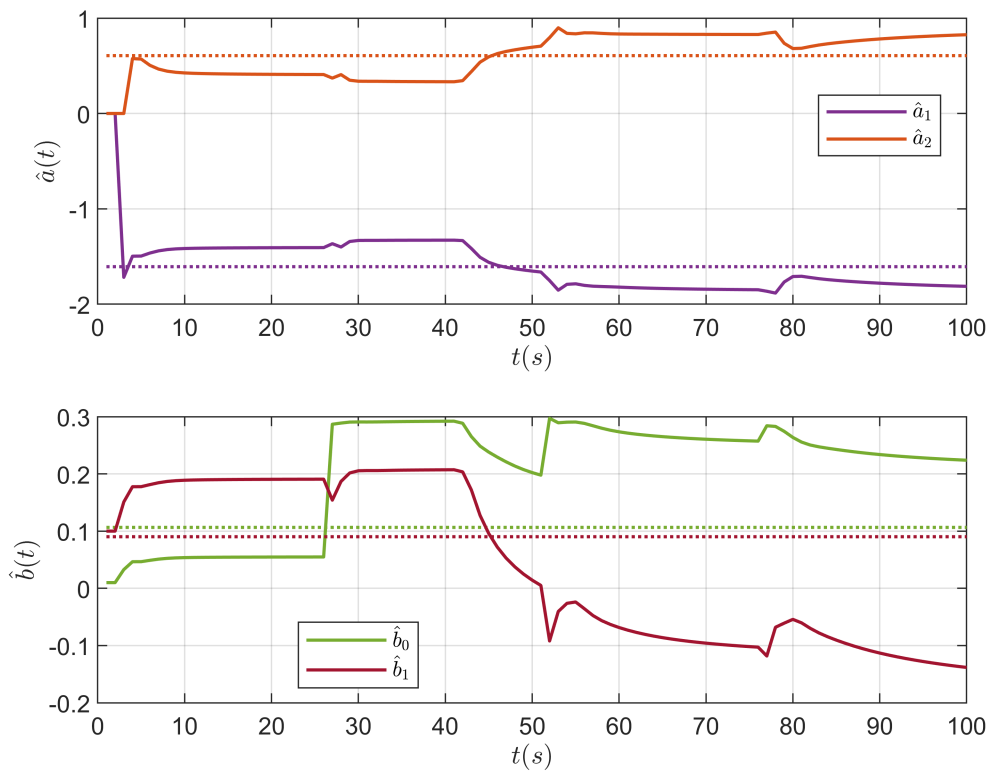
ex\_9\_1



**Figura 11:** Sinais de saída  $y(t)$ , referência  $u_c(t)$  e de controle  $u(t)$ .

Como pode-se observar, a adição do distúrbio conduz a um erro em regime permanente. Para estimar os parâmetros por meio da técnica recursiva de mínimos quadrados, utilizou-se um fator de esquecimento  $\lambda = 0.98$ . A estimativa pode ser visualizada na Figura abaixo.

ex\_9\_2



**Figura 12:** Evolução temporal da estimação dos parâmetros  $\hat{\theta}$  do processo.

Observa-se que há mudanças rápidas na estimação dos parâmetros sempre que há uma mudança no sinal de controle. E isto também é constatável após a adição da perturbação a partir de  $t = 40s$ . Estes erros na estimação podem indicar que a estrutura do modelo não está correta. Quando o sinal de controle se torna constante, os parâmetros tendem à estabilização em valores distantes dos parâmetros esperados.

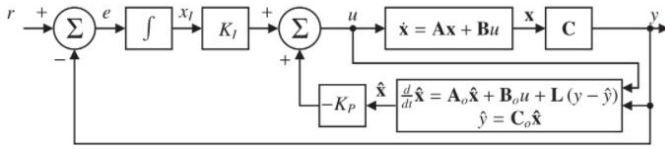
Para lidar com esse tipo de perturbação, pode-se adicionar um modelo dela, caso conhecido. Além disso, é possível adicionar um filtro que atenua as perturbações presentes no processo.

## Prova dos teoremas 9.4.1 e 9.4.2

### Teorema 9.4.1

O erro da estimação de estado  $\tilde{x} = \hat{x} - x$  é inatingível a partir da entrada de referência  $v$ .

Considerando um sistema do tipo:



$$\rho x = Ax + Bu$$

$$y = Cx$$

O observador de estados pode então ser definido como:

$$\rho \hat{x} = A\hat{x} + Bu + J(y - C\hat{x})$$

$$\hat{y} = C\hat{x}$$

A diferença entre os valores reais e estimados pode ser expresso por:

$$\rho \tilde{x} = \rho x - \rho \hat{x}$$

$$\rho \tilde{x} = A(x - \hat{x}) - J(Cx - C\hat{x})$$

$$\rho \tilde{x} = (A - JC)(x - \hat{x})$$

O sinal de controle é então:

$$u = -K_p \hat{x} + K_i x_i = -K_p(x - \tilde{x}) + K_i x_i$$

A partir do diagrama, pode-se definir:

$$\dot{x}_i = e = r - y = r - Cx_i$$

$$\dot{x} = Ax + B(-k_p \hat{x} + k_i x_i) = Ax - Bk_p(x - \tilde{x}) + Bk_i x_i \rightarrow \dot{x} = (A - Bk_p)x + Bk_p \tilde{x} + Bk_i x_i$$

$$\tilde{\dot{x}} = \dot{x} - \dot{\hat{x}} = Ax + Bu - A\hat{x} - Bu - L(y - \hat{y}) = (A - LC)\tilde{x}$$

$$u = -(k_i x_i + k_p x - k_p \tilde{x})$$

$$\begin{bmatrix} \dot{x}_i \\ \dot{x} \\ \tilde{\dot{x}} \end{bmatrix} = \begin{bmatrix} 0 & -C & 0 \\ BK_i & A - Bk_p & Bk_p \\ 0 & 0 & A - LC \end{bmatrix} \begin{bmatrix} x_i \\ x \\ \tilde{x} \end{bmatrix} + \begin{bmatrix} 1 \\ 0 \\ 0 \end{bmatrix} r$$

$$u = \begin{bmatrix} -k_i & k_p - k_p \end{bmatrix} \begin{bmatrix} x_i \\ x \\ \tilde{x} \end{bmatrix}$$

$$y = \begin{bmatrix} 0 & C & 0 \end{bmatrix} \begin{bmatrix} x_i \\ x \\ \tilde{x} \end{bmatrix}$$

O observador, a partir da definição de  $E_1$  como o polinômio característico de  $A - JC$  e  $E_2$  como  $(A - BK)$ , assim  $\rho \hat{x} = (A - JC)\hat{x} + Bu + Jy$  pode ser reescrita como:

$$E_1(\rho)\hat{x} = V_1(\rho)u + V_2(\rho)y$$

Onde:

$$V_1(\rho) = \text{Adj}[\rho I - A + JC]^{-1}B$$

$$V_2(\rho) = \text{Adj}[\rho I - A + JC]^{-1}J$$

$$E_1(\rho) = \det[\rho I - A + JC]$$

Sendo a lei de realimentação para estimação dada por  $u = -K\hat{x} + k_i x_i$ , substituindo as expressões anteriores, tem-se:

$$u = -K \left[ \frac{V_1(\rho)}{E_1(\rho)} u + \frac{V_2(\rho)}{E_1(\rho)} y \right] + k_i x_i$$

Definindo:

$$P(\rho) = KV_2(\rho)$$

$$L(\rho) = E_1(\rho) + KV_1(\rho)$$

Assim:

$$V_1(\rho) = E_1(\rho)[\rho I - A + JC]^{-1}B$$

$$V_2(\rho) = E_1(\rho)[\rho I - A + JC]^{-1}J$$

Expressando de forma compacta o observador e a estimação do estado:

$$\frac{L}{E_1} u = -\frac{P}{E_1} y + v$$

Os operadores  $L$  e  $P$  satisfazem a seguinte identidade polinomial:

$$DL + NP = E_1 E_2$$

Usando as informações anteriores, tem-se:

$$\begin{aligned} L(\rho)D(\rho) + P(\rho)N(\rho) &= D(\rho)[E_q(\rho) + K[V_1(\rho) + V_2(\rho)C(\rho I - IA)^{-1}B]] \\ &= D(\rho)E_1(\rho)1 + K(\rho I - A + JC)^{-1}B + K(\rho I - A + JC)^{-1}xJC(\rho I - A)^{-1}B \\ &= D(\rho)E_1(\rho)[1 + K(\rho I - A + JC)^{-1}[(\rho I - A) + JC](\rho I - A)^{-1}B] \end{aligned}$$

$$\begin{aligned}
&= D(\rho)E_1(\rho)[1 + K(\rho I - A)^{-1}B] \\
&= D(\rho)E_1(\rho)\det[I + (\rho I - A)^{-1}BK] \\
&= D(\rho)E_1(\rho)\det[(\rho I - A)^{-1}]\det[\rho I - A + BK]
\end{aligned}$$

Sabendo que  $D(\rho) = \det(\rho I - A)$  e que  $E_2(\rho) = \det(\rho I - A + BK)$ , tem-se:

$$L(\rho)D(\rho) + P(\rho)N(\rho) = E_1(\rho)E_2(\rho)$$

$v$  é escolhido na forma:

$$v = \frac{G}{E_1} y^*$$

Nesse caso, a realização mínima da lei de controle é dada por:

$$Lu = -Py + Gy^*$$

## Referências bibliográficas

[1] K. ASTRÖM, B. WITTENMARK. **Adaptive Control**. CRC Press, 2000. ISBN 0486462781